

岐阜大学工学部 正員 増田重臣
岐阜大学工学部 正員 *河村三郎

河川や水路が構造物によつて縮流されると縮流部分の河床は洗掘され、そして粗くなる。この研究は縮流部分の平衡洗掘水深に関する動的平衡理論および静的平衡理論を使用して解析したものであり、この研究結果の一端は河村が Proc. ASCE, HY1, 1963 に発表した。

(1) 動的平衡理論による解析: Fig. 1 のごとく縮流される場合に与えられた流量 Q について河床が動的平衡状態に達したとき、流水の連続式は $Q = b_1 h_1 u_1 = b_2 h_2 u_2 = \text{const.}$ ……(1)

ここに、添字 1 は非縮流部分、2 は縮流部分を示している。 b : 河川中、 h : 水深、 u : 平均流速。流水に適用する抵抗法則として次式を使用す

$$3. \frac{u}{u_*} = E \left(\frac{R}{R_s} \right)^{\theta} \quad \dots \dots \dots (2)$$

$$\frac{R_s}{d_s} = K \left[\frac{u_*^2}{\{(\rho/\rho) - 1\} g d_s} \right]^m \quad \dots \dots \dots (3)$$

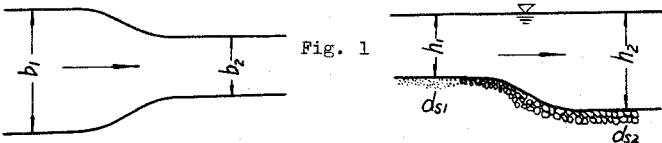


Fig. 1

ここに、 u_* : 摩擦速度、 R : 径深、 R_s : 相当粗度、 d_s : 平均粒径、 g : 重力の加速度、 ρ : 砂の密度、 ρ/ρ : 水の密度、 E と K はあら常数、 θ と m はある指數 ($\theta = 1/6$, $m = 0 \sim 3$)

流砂量公式として Brown の式を使用する。

$$q_s = a_s \left[\frac{u_*^2}{\{(\rho/\rho) - 1\} g d_s} \right]^p \quad \dots \dots \dots (4)$$

ここに、 q_s : 流遊流砂も含めた単位中の単位時間当りの流砂量、 a_s : ある常数、 p : ある指數 (Brown の式では $a_s = 10$, $p = 2$)。一方、流砂

の連続式は $\frac{\partial Q}{\partial t} + \frac{1}{b(1-\lambda)} \frac{\partial (q_s \cdot b)}{\partial x} = 0 \quad \dots \dots \dots (5)$

ここに、 Q : ある基準面からの河床高、 t : 時間、 x : 流下方向にとった距離、 λ : 空隙率。入を近似的に常数として扱い⁽²⁾、流砂量であっても河床

が時間的に変動しない、すなわち動的平衡状態にあらばうば $\partial Q / \partial t = 0$ であるから(5)式

の連続式は $Q_s = q_{s1} b_1 = q_{s2} b_2 = \text{const.} \quad \dots \dots \dots (6)$

ここに、 Q_s : 全流砂量。(4)式から

$$q_{s1} = u_{*1}^{(1+2p)} d_{s1}^{(1-p)} a_{s1} \{(\rho/\rho) - 1\}^p g_1^{-p} \quad \dots \dots \dots (7)$$

$$q_{s2} = u_{*2}^{(1+2p)} d_{s2}^{(1-p)} a_{s2} \{(\rho/\rho) - 1\}_2^p g_2^{-p} \quad \dots \dots \dots (7)$$

(7)式と(6)式に代入し $Q_s = q_{s1} = q_{s2}$, $\{(\rho/\rho) - 1\}_2 = \{(\rho/\rho) - 1\}_2$, $g_1 = g_2$ であるから(8)式をうる。

$$\frac{u_{*1}}{u_{*2}} = \left(\frac{b_2}{b_1} \right)^{\frac{1}{(1+2p)}} \left(\frac{d_{s2}}{d_{s1}} \right)^{\frac{(1-p)}{(1+2p)}} \quad \dots \dots \dots (8)$$

(2)式と(3)式より u_1 と u_2 を求めると、

$$u_1 = u_{*1}^{(1-2m\theta)} E_1 R_1^{\theta} K_1^{-\theta} d_{s1}^{(m-1)\theta} \{(\rho/\rho) - 1\}_1^{m\theta} g_1^{m\theta} \quad \dots \dots \dots (9)$$

$$u_2 = u_{*2}^{(1-2m\theta)} E_2 R_2^{\theta} K_2^{-\theta} d_{s2}^{(m-1)\theta} \{(\rho/\rho) - 1\}_2^{m\theta} g_2^{m\theta} \quad \dots \dots \dots (9)$$

(9)式を(1)式に代入し $E_1 = E_2$, $K_1 = K_2$, $\{(\rho/\rho) - 1\}_1 = \{(\rho/\rho) - 1\}_2$, $g_1 = g_2$, $(R_2/R_1) = (h_2/h_1)$ であるから

$$\frac{u_{*1}}{u_{*2}} = \left(\frac{b_2}{b_1} \right)^{\frac{1}{(1-2m\theta)}} \left(\frac{h_2}{h_1} \right)^{\frac{(1-p)}{(1-2m\theta)}} \left(\frac{d_{s2}}{d_{s1}} \right)^{\frac{(m\theta-p)}{(1-2m\theta)}} \quad \dots \dots \dots (10)$$

(8)式と(10)式より u_{*1}/u_{*2} を消去して、 h_2/h_1 につれて解くと次式をうる。

$$\left(\frac{h_2}{h_1} \right) = \left(\frac{b_1}{b_2} \right)^p \left(\frac{d_{s1}}{d_{s2}} \right)^j \quad \dots \dots \dots (11)$$

$$\text{ここで } p = \frac{(2m\theta-2P\theta-\theta+p-1)}{(1+2p)(1+\theta)}, \quad j = \frac{(3m\theta-2P\theta-\theta+p-1)}{(1+2p)(1+\theta)}$$

$P = 2$ と $\theta = 1/6$ を代入すると $p = (2m+24)/35$, $j = (3m+1)/35$; $m = 2$ のときは $p = 4/5$, $j = 1/5$;

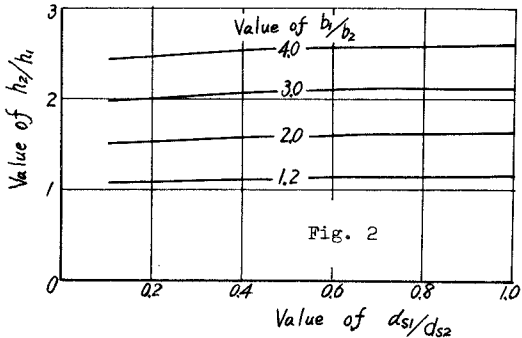
$m = 0$ のときは $p = 24/35$, $j = 1/35$ となる。

* この講演は増田が行はう予定であったが、4月より琉球大学へ出張りため河村が行なう。

したがつて $m = 0$ の場合は

$$\left(\frac{h_2}{h_1}\right) = \left(\frac{b_1}{b_2}\right)^{0.686} \left(\frac{ds_1}{ds_2}\right)^{0.029} \quad \dots \dots \dots (12)$$

(12)式の関係を $(b_1/b_2) = 1.2, 2.0, 3.0, 4.0$ について示したのが Fig. 2 である。Fig. 2 から、 ds_1/ds_2 は省略しあることが知られる。したがつて (12)式は、 $\left(\frac{h_2}{h_1}\right) = \left(\frac{b_1}{b_2}\right)^{0.686}$ $\dots \dots \dots (13)$



この結果から、平衡沈降水深 h_2 は非縮流部分の水深 h_1 と縮流形状 (b_1/b_2) に支配されることが知られる。

(2) 静的平衡理論による解析: 流砂がほとんどないような河川に構造物を作られた場合、縮流部分は掃流力が増加するためにこの部分の細い粒径のエ砂は流送され粗くなり最後には静的平衡の状態になると考えられる。このような特殊な場合について解析してみよう。

限界掃流力公式として岩垣公式を使用する
と $\frac{U_{*c}^2}{[(\gamma/\rho)-1]gds} = ac$ $\dots \dots \dots (14)$

ここで、 U_{*c} : 限界摩擦速度、 ac : ある常数。
静的平衡状態においては、

$$\frac{T_{c1}}{T_{c2}} = \frac{\rho_1 U_{*c1}^2}{\rho_2 U_{*c2}^2} = \frac{\rho_1 ac_1[(\gamma/\rho)-1]g_1 ds_1}{\rho_2 ac_2[(\gamma/\rho)-1]g_2 ds_2} \dots \dots \dots (15)$$

$$a_1 = a_2, g_1 = g_2, [(\gamma/\rho)-1]_1 = [(\gamma/\rho)-1]_2 \text{ である} \\ \text{から } \left(\frac{U_{*c1}}{U_{*c2}}\right)^2 = \left(\frac{a_{c1}}{a_{c2}}\right) \left(\frac{ds_1}{ds_2}\right) \dots \dots \dots (16)$$

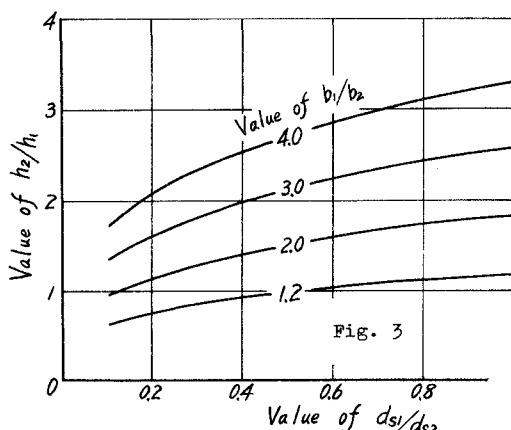
(10)式と(16)式から U_{*c1}/U_{*c2} を消去して (h_2/h_1) について解くと

$$\left(\frac{h_2}{h_1}\right) = \left(\frac{a_{c1}}{a_{c2}}\right)^f \left(\frac{b_1}{b_2}\right)^r \left(\frac{ds_1}{ds_2}\right)^s \dots \dots \dots (17)$$

$$\therefore f = \frac{(1-2mg)}{2(1+g)}, r = \frac{1}{(1+g)}, s = \frac{(1-2g)}{2(1+g)}$$

$$g = \frac{1}{6} \text{ を代入すと } f = (3-m)/7, r = 6/7,$$

$$s = 2/7 \text{ となる。} (a_{c1}/a_{c2}) \text{ は近似的に } 1/1 \text{ に近い値であるから省略しある。} \text{ したがつて (17) 式は}$$



$$\left(\frac{h_2}{h_1}\right) = \left(\frac{b_1}{b_2}\right)^{\frac{m}{7}} \left(\frac{ds_1}{ds_2}\right)^{\frac{2}{7}} = \left(\frac{b_1}{b_2}\right)^{0.857} \left(\frac{ds_1}{ds_2}\right)^{0.286} \dots \dots \dots (18)$$

(18)式の関係を $(b_1/b_2) = 1.2, 2.0, 3.0, 4.0$ について示したのが Fig. 3 である。なお(11)式と(18)式の指指数が一致する m の値は $m=3$ である。

文 献

- (1) Komura, S., Discussion of "Sediment Transportation Mechanics: Erosion of Sediment," by the Task Committee on Preparation of Sedimentation Manual, Proc. ASCE, Vol. 89, No. HY1, January, 1963, pp. 269-276.
- (2) Komura, S., Discussion of "Sediment Transportation Mechanics: Introduction and Properties of Sediment," by the Task Committee on Preparation of Sedimentation Manual, Proc. ASCE, Vol. 89, No. HY1, January, 1963, pp. 263-266.

(3) 増田, 河村: 流砂ある河川における平衡匀配について,
土木学会論文集 70号, 1960, pp. 8~16.

(4) 増田, 河村: 河川の静的平衡匀配について,
土木学会論文集, 70号, 1960, pp. 17~25.

(5) 岩垣雄一: 限界掃流力に関する基礎的研究,
土木学会論文集 41号, 1956, p.15.